

# 自动控制原理

## 第二章 控制系统的数学模型

电子信息学院

主讲：张永韡 博士 讲师  
email: ywzhang@just.edu.cn



# 主要内容

## 1 引言

## 2 控制系统的数学模型

- 控制系统的微分方程
- 非线性模型的线性化
- 控制系统的复数域数学模型

## 3 动态结构图及等效变换

- 动态结构图的组成
- 典型连接方式及等效变换
- 等效移动规则
- 结构图等效变换方法

## 4 信号流图及梅逊公式

- 信号流图的基本概念
- 信号流图的绘制
- 梅逊 (Mason) 增益公式

## 5 控制系统的传递函数



# 建模方法

## 机理建模（分析法）

根据现有的物理、化学定律对系统各部分的动态进行分析和描述，并给出运动方程。

## 电学：基尔霍夫定律

**电流定律** 所有进入某节点的电流的总和等于所有离开这节点的电流的总和。

**电压定律** 沿着闭合回路所有元件两端的电势差（电压）的代数和等于零。



# 建模方法

## 力学：牛顿定律

**第一定律** 存在某些参考系，在其中，不受外力的物体都保持静止或匀速直线运动。

**第二定律** 施加于物体的合外力等于此物体的质量与加速度的乘积。

**第三定律** 当两个物体互相作用时，彼此施加于对方的力，其大小相等、方向相反。



# 建模方法

## 热力学：热力学定律

**第零定律** 若两个热力学系统均与第三个系统处于热平衡状态，此两个系统也必互相处于热平衡。

**第一定律** 物体内能的增加等于物体吸收的热量和对物体所作的功的总和。（系统经过绝热循环，其所做的功为零，因此第一类永动机是不可能的（即不消耗能量做功的机械）。

**第二定律** 孤立系统自发地朝着热力学平衡方向——最大熵状态——演化，同样地，第二类永动机永不可能实现。（不可能从单一热源吸取热量，使之完全变为有用功而不产生其他影响）

**第三定律** 热力学系统的熵在温度趋近于绝对零度时趋于定值，特别地，对于完整晶体，这个定值为零



## 黑箱建模（实验法）

**系统辨识** 给系统添加测试信号，记录输出响应，使用数学模型逼近。

**神经网络** 训练网络权值，最小化输出的最小二乘误差。神经网络建模可看做系统辨识的特例。

系统辨识已经形成了一门独立的学科。本章重点研究分析法。



# 控制理论中的系统模型

## 数学模型

系统内各变量之间的关系

静态  $\rightarrow$  各阶导数为零

动态  $\rightarrow$  各阶变量之间关系

## 数学模型的类型

时域 ( $t$ ) 微分方程, 差分方程, 状态方程

复数域 ( $s$ ) 传递函数, 结构图

频率域 ( $\omega$ ) 频率特性



# 接下来...

## 1 引言

## 2 控制系统的数学模型

- 控制系统的微分方程
- 非线性模型的线性化
- 控制系统的复数域数学模型

## 3 动态结构图及等效变换

- 动态结构图的组成
- 典型连接方式及等效变换
- 等效移动规则
- 结构图等效变换方法

## 4 信号流图及梅逊公式

- 信号流图的基本概念
- 信号流图的绘制
- 梅逊 (Mason) 增益公式

## 5 控制系统的传递函数



# 控制系统的微分方程



$$\begin{aligned}
 & a_n \frac{d^n c(t)}{dt^n} + a_{n-1} \frac{d^{n-1} c(t)}{dt^{n-1}} + \cdots + a_1 \frac{dc(t)}{dt} + a_0 c(t) \\
 &= b_m \frac{d^m r(t)}{dt^m} + b_{m-1} \frac{d^{m-1} r(t)}{dt^{m-1}} + \cdots + b_1 \frac{dr(t)}{dt} + b_0 r(t)
 \end{aligned} \quad (2-1)$$

## 建立微分方程的一般步骤

- ① 确定输入量、输出量和扰动量，并根据需要引进一些中间变量。
- ② 根据物理或化学定律，列出微分方程。
- ③ 消去中间变量后得到描述输出量与输入量 (包括扰动量) 关系的微分方程 (标准形式)。



# 例 1 R-L-C 串联电路

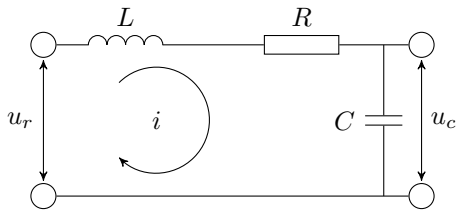
由基尔霍夫定律得

$$u_r(t) = L \frac{di(t)}{dt} + Ri(t) + u_c(t)$$

$$i(t) = C \frac{du_c(t)}{dt}$$

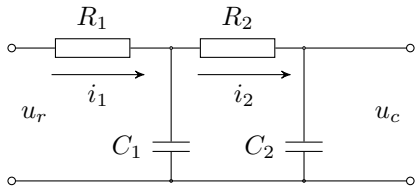
消去中间变量  $i(t)$

$$LC \frac{d^2 u_c(t)}{dt^2} + RC \frac{du_c(t)}{dt} + u_c(t) = u_r(t)$$





## 例 2 有负载效应的电路



$$u_r = \frac{1}{C_1} \int (i_1 - i_2) dt + i_1 R_1$$

$$\frac{1}{C_1} \int (i_1 - i_2) dt = i_2 R_2 + u_c$$

$$u_c = \frac{1}{C_2} \int i_2 dt$$

消去中间变量  $i_1$ ,  $i_2$ , 整理得

$$R_1 R_2 C_1 C_2 \frac{d^2 u_c}{dt^2} + (R_1 C_1 + R_2 C_2 + R_1 C_2) \frac{d u_c}{dt} + u_c = u_r$$



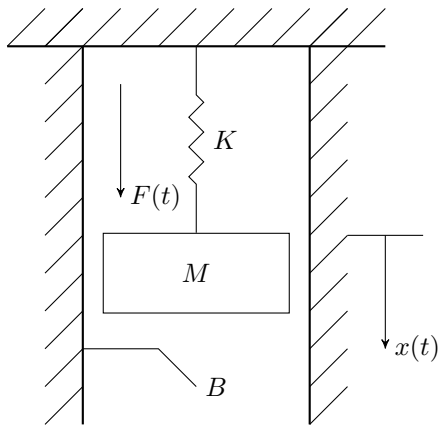
## 例 3 机械位移系统

由牛顿第二定律:  $f_M(t) = M \frac{d^2 x(t)}{dt^2}$

阻尼器模型:  $f_B(t) = B \frac{dx(t)}{dt}$

由胡克定律:  $f_K(t) = Kx(t)$

$$\begin{aligned} F(t) &= f_M(t) + f_B(t) + f_K(t) \\ &= M \frac{d^2 x(t)}{dt^2} + B \frac{dx(t)}{dt} + Kx(t) \end{aligned}$$

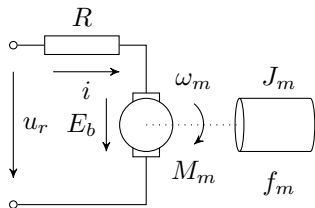




## 例 4 电枢控制式直流电动机

电枢回路	$u_r = Ri + E_b$
电枢反电势	$E_b = c_e \cdot \omega_m$
电磁力矩	$M_m = c_m i$
力矩平衡	$J_m \dot{\omega}_m + f_m \omega_m = M_m$
	$\omega_m = \dot{\theta}$

克希霍夫  
楞次定律  
安培定律  
牛顿定律



消去中间变量  $i$ ,  $M_m$ ,  $E_b$  可得:

$$\begin{cases} T_m \dot{\omega}_m + \omega_m = K_m u_r \\ T_m \ddot{\theta}_m + \dot{\theta}_m = K_m u_r \end{cases}
 \begin{cases} T_m = J_m R / (R \cdot f_m + c_e \cdot c_m) \\ K_m = c_m / (R \cdot f_m + c_e \cdot c_m) \end{cases}
 \begin{array}{l} \text{电机时间常数} \\ \text{电机传递系数} \end{array}$$



# 接下来...

## 1 引言

## 2 控制系统的数学模型

- 控制系统的微分方程
- 非线性模型的线性化
- 控制系统的复数域数学模型

## 3 动态结构图及等效变换

- 动态结构图的组成
- 典型连接方式及等效变换
- 等效移动规则
- 结构图等效变换方法

## 4 信号流图及梅逊公式

- 信号流图的基本概念
- 信号流图的绘制
- 梅逊 (Mason) 增益公式

## 5 控制系统的传递函数



# 非线性模型的线性化

$$\ddot{c} + \dot{c} = \ddot{r} + r \longrightarrow \text{线性}$$

$$c\ddot{c} + \dot{c} = \ddot{r} + r \longrightarrow \text{非线性}$$

在给定工作点附近将非线性模型展开为泰勒级数

$$y = f(x) = f(x_0) + \left. \frac{df}{dx} \right|_{x=x_0} (x - x_0) + \frac{1}{2} \left. \frac{d^2f}{dx^2} \right|_{x=x_0} (x - x_0)^2 + \dots$$

略去 2 次及高阶项，得到线性化方程

$$y = y_0 + K(x - x_0)$$

其中

$$y_0 = f(x_0), \quad K = \left. \frac{df}{dx} \right|_{x=x_0}$$



# 接下来...

## 1 引言

## 2 控制系统的数学模型

- 控制系统的微分方程
- 非线性模型的线性化
- 控制系统的复数域数学模型

## 3 动态结构图及等效变换

- 动态结构图的组成
- 典型连接方式及等效变换
- 等效移动规则
- 结构图等效变换方法

## 4 信号流图及梅逊公式

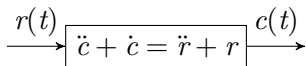
- 信号流图的基本概念
- 信号流图的绘制
- 梅逊 (Mason) 增益公式

## 5 控制系统的传递函数



# 控制系统的复数域数学模型

传递函数：经典控制的基础



## 定义

零初始条件下输出的拉氏变换比输入拉氏变换。

## 典型外作用信号

阶跃  $f(t) = R \cdot 1(t)$

斜坡  $f(t) = Rt$

脉冲  $f(t) = \lim_{t_0 \rightarrow 0} \frac{A}{t_0} [1(t) - 1(t - t_0)]$

复数域下，理想脉冲信号表示为  $\delta(t)$ ，且有：

$$\mathcal{L}[\delta(t)] = 1$$



# 微分方程与传递函数

回忆线性定常微分方程的一般形式：

$$\begin{aligned} & a_0 \frac{d^n c(t)}{dt^n} + a_1 \frac{d^{n-1} c(t)}{dt^{n-1}} + \cdots + a_{n-1} \frac{dc(t)}{dt} + a_n c(t) \\ &= b_0 \frac{d^m r(t)}{dt^m} + b_1 \frac{d^{m-1} r(t)}{dt^{m-1}} + \cdots + b_{m-1} \frac{dr(t)}{dt} + b_m r(t) \end{aligned}$$

零初始条件下，对上式两边取拉氏变换，得：

$$\begin{aligned} & (a_0 s^n + a_1 s^{n-1} + \cdots + a_{n-1} s + a_n) C(s) \\ &= (b_0 s^m + b_1 s^{m-1} + \cdots + b_{m-1} s + b_m) R(s) \end{aligned} \quad (2-2)$$

该系统的传递函数定义为输出与输入之比：

$$G(s) = \frac{C(s)}{R(s)} = \frac{b_0 s^m + b_1 s^{m-1} + \cdots + b_{m-1} s + b_m}{a_0 s^n + a_1 s^{n-1} + \cdots + a_{n-1} s + a_n} \quad (2-3)$$



# 传递函数的零极点形式

$$\begin{aligned} G(s) &= \frac{C(s)}{R(s)} = \frac{b_0 s^m + b_1 s^{m-1} + \cdots + b_{m-1} s + b_m}{a_0 s^n + a_1 s^{n-1} + \cdots + a_{n-1} s + a_n} \\ &= \frac{N(s)}{D(s)} = \frac{b_0 (s - z_1)(s - z_2) \cdots (s - z_m)}{a_0 (s - p_1)(s - p_2) \cdots (s - p_n)} \end{aligned} \quad (2-4)$$

$s = z_i (i = 1, 2, \cdots, m)$  是  $N(s) = 0$  的根, 称为传递函数的零点;  
 $s = p_i (i = 1, 2, \cdots, n)$  是  $D(s) = 0$  的根, 称为传递函数的极点。



# 传递函数性质

- TF 与信号无关，只取决于系统的结构和参数，与系统的输入和输出位置有关
- 仅适用于线性定常系统
- 分母阶次  $n$  大于分子阶次  $m$ ,  $n > m$
- 分母中  $s$  的最高阶次  $n$  即为系统的阶次
- 不能反映非零初始条件的运动
- 由相应零极点组成
- 只反映但输入与单输出的关系，不反映内部（多入多出系统使用 TF 矩阵）
- 特征多项式  $D(s) = a_0 s^n + a_1 s^{n-1} + \cdots + a_{n-1} s + a_n$
- 特征方程  $D(s) = 0$
- $D(s) = 0$  的根称为特征根。



## 微分方程求传递函数举例

由页面1，所得系统微分方程为：

$$LC \frac{d^2 u_c(t)}{dt^2} + RC \frac{du_c(t)}{dt} + u_c(t) = u_r(t)$$

拉氏变换得： $LCs^2 U_c(s) + RCs U_c(s) + U_c(s) = U_r(s)$ ，整理得

$$\frac{U_c(s)}{U_r(s)} = \frac{1}{LCs^2 + RCs + 1}$$

由页面1，所得系统微分方程为

$$R_1 R_2 C_1 C_2 \frac{d^2 u_c}{dt^2} + (R_1 C_1 + R_2 C_2 + R_1 C_2) \frac{du_c}{dt} + u_c = u_r$$

拉氏变换得并整理得：

$$\frac{U_c(s)}{U_r(s)} = \frac{1}{R_1 R_2 C_1 C_2 s^2 + (R_1 C_1 + R_2 C_2 + R_1 C_2) s + 1}$$



## 微分方程求传递函数举例

由例 3，所得系统微分方程为：

$$M \frac{d^2 x(t)}{dt^2} + B \frac{dx(t)}{dt} + Kx(t) = F(t)$$

拉氏变换并整理得：

$$\frac{X(s)}{F(s)} = \frac{1}{Ms^2 + Bs + 1}$$

由例 4，所得系统微分方程为

$$T_m \dot{\omega}_m + \omega_m = K_m u_r \quad \text{或} \quad T_m \ddot{\theta}_m + \dot{\theta}_m = K_m u_r$$

拉氏变换得并整理得：

$$\frac{\Omega_m(s)}{U_r(s)} = \frac{K_m}{T_m s + 1} \quad \text{或} \quad \frac{\Theta_m(s)}{U_r(s)} = \frac{K_m}{s(T_m s + 1)}$$



# 典型环节的数学模型

## 1) 比例环节

其输出量和输入量的关系,

$$y(t) = Kr(t)$$

式中  $K$  为环节的放大系数, 为常数。传递函数为

$$G(s) = \frac{Y(s)}{R(s)} = K$$

**特点：** 输出与输入量成比例, 无失真和时间延迟。

**实例：** 电子放大器, 齿轮, 电阻 (电位器) 等。



# 典型环节的数学模型

## 2) 惯性环节

微分方程式表示

$$T \frac{dy(t)}{dt} + y(t) = r(t)$$

式中  $T$  为环节的时间常数。传递函数为

$$G(s) = \frac{Y(s)}{R(s)} = \frac{1}{Ts + 1}$$

**特点：** 对突变的输入，其输出不能立即发现，输出无振荡。

**实例：** RC 网络，直流伺服电动机的传递函数也包含这一环节。



# 典型环节的数学模型

## 3) 积分环节

微分方程式表示

$$y(t) = \int r(t) dt$$

传递函数为

$$G(s) = \frac{Y(s)}{R(s)} = \frac{1}{s}$$

**特点：** 输出量与输入量的积分成正比例，当输入消失，输出具有记忆功能。

**实例：** 模拟计算机中的积分器。



# 典型环节的数学模型

## 4) 微分环节

是积分的逆运算，微分方程式表示

$$y(t) = \tau \frac{dr(t)}{dt}$$

式中  $\tau$  为环节的时间常数，传递函数为

$$G(s) = \frac{Y(s)}{R(s)} = \tau s$$

**特点：** 输出量正比输入量变化的速度，能预示输入信号的变化趋势。

**实例：** 测速发电机输出电压与输入角度间的传递函数即为微分环节。



# 典型环节的数学模型

## 5) 振荡环节：

二阶微分方程式来表示

$$T^2 \frac{d^2 y(t)}{dt^2} + 2\zeta T \frac{dy(t)}{dt} + y(t) = r(t)$$

传递函数为

$$G(s) = \frac{Y(s)}{R(s)} = \frac{1}{T^2 s^2 + 2\zeta T s + 1}$$

**特点：** 环节中有两个独立的储能元件，并可进行能量交换。

**实例：** RLC 电路的输出与输入电压间的传递函数。



## 典型环节的特点

- 环节：具有相同形式传递函数的元部件的分类。
- 不同的元部件可以有相同的传递函数；
- 若输入输出变量选择不同，同一部件可以有不同的传递函数；
- 任一传递函数都可看作典型环节的组合，即传递函数的典型环节形式。

例如：

$$G(s) = \frac{K(2s + 1)}{s^v(Ts + 1)(\tau^2 s^2 + 2\epsilon\tau s + 1)}$$



## 结构相似系统

许多表面上看来似乎毫无共同之处的控制系统，其运动规律可能完全一样，可以用一个运动方程来表示，称它们为结构相似系统。

例 1 的 RLC 电路和例 3 机械平移系统就可以用同一个数学表达式分析，具有相同的数学模型。

$$LC \frac{d^2 u_c(t)}{dt^2} + RC \frac{du_c(t)}{dt} + u_c(t) = u_r(t)$$

$$M \frac{d^2 x(t)}{dt^2} + B \frac{dx(t)}{dt} + Kx(t) = F(t)$$



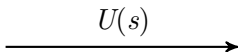
# 接下来...

- 1 引言
- 2 控制系统的数学模型
  - 控制系统的微分方程
  - 非线性模型的线性化
  - 控制系统的复数域数学模型
- 3 动态结构图及等效变换
  - 动态结构图的组成
  - 典型连接方式及等效变换
  - 等效移动规则
  - 结构图等效变换方法
- 4 信号流图及梅逊公式
  - 信号流图的基本概念
  - 信号流图的绘制
  - 梅逊 (Mason) 增益公式
- 5 控制系统的传递函数

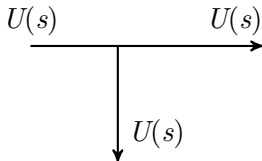


# 动态结构图的组成

1、信号线：有箭头的直线，箭头表示信号传递方向。



2、引出点：信号引出或测量的位置。

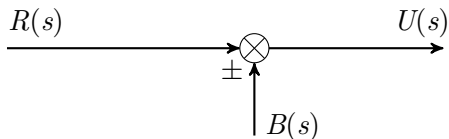


从同一信号线上引出的信号，  
数值和性质完全相同

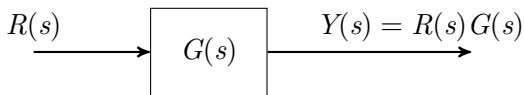


## 动态结构图的组成

3、综合点：对两个或两个以上的信号进行代数运算，“+”表示相加，常省略，“-”表示相减。

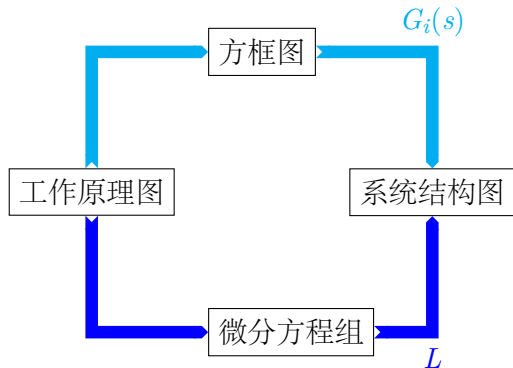


4、方框：表示典型环节或其组合，框内为对应的传递函数，两侧为输入、输出信号线。





# 动态结构图的建立



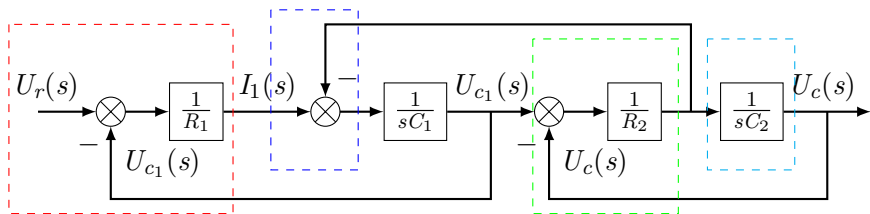


## 例 5 : 有负载效应的 RC 网络

### 1) 由微分方程得到规范的因果关系

$$\begin{aligned}
 i_1(t) &= \frac{u_r(t) - u_1(t)}{R_1} & \implies & [U_r(s) - U_{c1}(s)] \frac{1}{R_1} = I_1(s) \\
 u_1(t) &= \frac{1}{C_1} \int (i_1(t) - i_2(t)) dt & \implies & [I_1(s) - I_2(s)] \frac{1}{sC_1} = U_1(s) \\
 i_2(t) &= \frac{u_1(t) - u_C(t)}{R_2} & \implies & [U_1(s) - U_C(s)] \frac{1}{R_2} = I_2(s) \\
 u_C(t) &= \frac{1}{C_2} \int i_2(t) dt & \implies & I_2(s) \frac{1}{sC_2} = U_C(s)
 \end{aligned}$$

### 2) 绘动态结构图。按照变量的传递顺序，依次将各元件的结构图连接起来





# 接下来...

## 1 引言

## 2 控制系统的数学模型

- 控制系统的微分方程
- 非线性模型的线性化
- 控制系统的复数域数学模型

## 3 动态结构图及等效变换

- 动态结构图的组成
- 典型连接方式及等效变换
- 等效移动规则
- 结构图等效变换方法

## 4 信号流图及梅逊公式

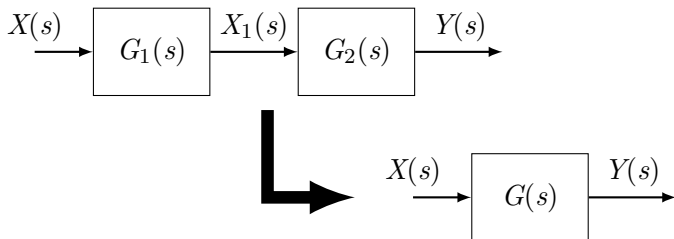
- 信号流图的基本概念
- 信号流图的绘制
- 梅逊 (Mason) 增益公式

## 5 控制系统的传递函数



# 典型连接方式及等效变换

## 1、串联及等效



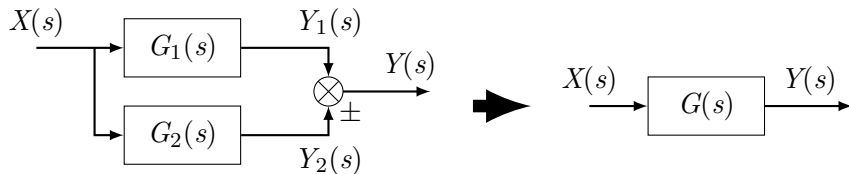
$$\frac{X_1(s)}{X(s)} = G_1(s), \quad \frac{Y(s)}{X_1(s)} = G_2(s)$$

$$G(s) = \frac{Y(s)}{X(s)} = G_1(s) G_2(s)$$



# 典型连接方式及等效变换

## 2、并联及等效



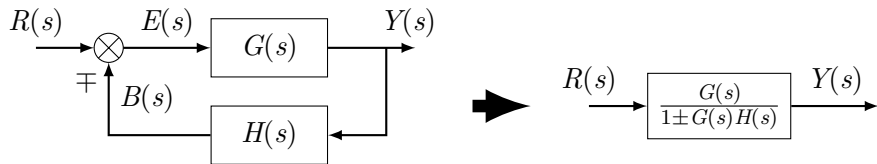
$$\begin{aligned}
 Y(s) &= Y_1(s) \pm Y_2(s) = X(s)G_1(s) \pm X(s)G_2(s) \\
 &= X(s)[G_1(s) \pm G_2(s)] = X(s)G(s)
 \end{aligned}$$

$$G(s) = G_1(s) \pm G_2(s)$$



# 典型连接方式及等效变换

## 3、反馈及等效



$$Y(s) = E(s)G(s), \quad E(s) = R(s) \mp B(s), \quad B(s) = Y(s)H(s)$$

$$Y(s) = [R(s) \mp B(s)]G(s) = R(s)G(s) \mp Y(s)H(s)G(s)$$

$$Y(s)[1 \pm H(s)G(s)] = R(s)G(s)$$

$$\frac{Y(s)}{R(s)} = \frac{G(s)}{1 \pm H(s)G(s)}$$



# 接下来...

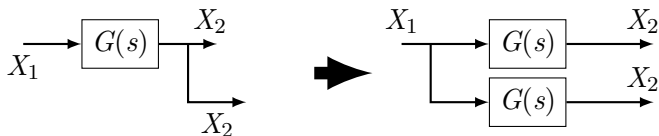
- 1 引言
- 2 控制系统的数学模型
  - 控制系统的微分方程
  - 非线性模型的线性化
  - 控制系统的复数域数学模型
- 3 动态结构图及等效变换
  - 动态结构图的组成
  - 典型连接方式及等效变换
  - 等效移动规则
  - 结构图等效变换方法
- 4 信号流图及梅逊公式
  - 信号流图的基本概念
  - 信号流图的绘制
  - 梅逊 (Mason) 增益公式
- 5 控制系统的传递函数



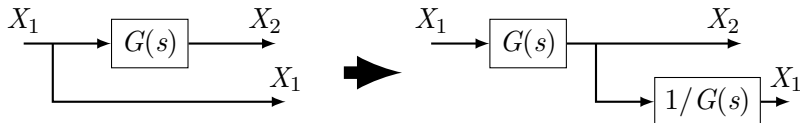
# 等效移动规则

## 1、引出点的移动

1) 前移：在移动支路中串入所越过的传递函数方框



2) 后移：在移动支路中串入所越过的传递函数的倒数方框

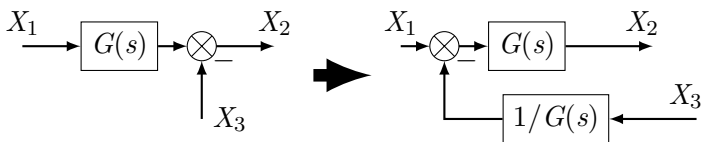




# 等效移动规则

## 2、综合点的移动

1) 前移：在移动支路中串入所越过的传递函数的倒数方框



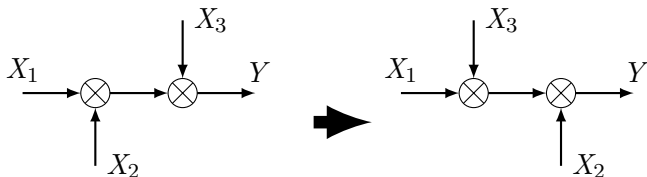
2) 后移：在移动支路中串入所越过的传递函数方框





# 等效移动规则

## 3) 相邻综合点移动



- 相邻综合点之间可以随意调换位置
- 相邻引出点之间可以随意调换位置

注意：相邻引出点和综合点之间不能互换!



# 接下来...

- 1 引言
- 2 控制系统的数学模型
  - 控制系统的微分方程
  - 非线性模型的线性化
  - 控制系统的复数域数学模型
- 3 动态结构图及等效变换
  - 动态结构图的组成
  - 典型连接方式及等效变换
  - 等效移动规则
  - 结构图等效变换方法
- 4 信号流图及梅逊公式
  - 信号流图的基本概念
  - 信号流图的绘制
  - 梅逊 (Mason) 增益公式
- 5 控制系统的传递函数

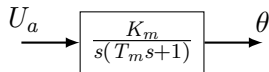
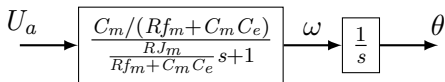
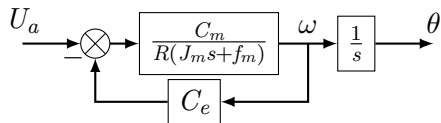
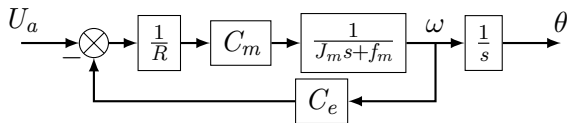


# 结构图等效变换方法

- 1 若有三种典型结构，串联，并联或反馈，则直接用公式先化简；
- 2 若没有三种典型结构，且回路之间有交叉，则必须移位。
- 3 比较点只能向相邻比较点方向移位，引出点只能向相邻引出点方向移位。且移位后，常常伴随着与相邻综合点或相邻引出点交换位置或综合，以解交叉。
- 4 由内回路向外回路一层层简化。
- 5 注意：相邻引出点和综合点之间不能互换！

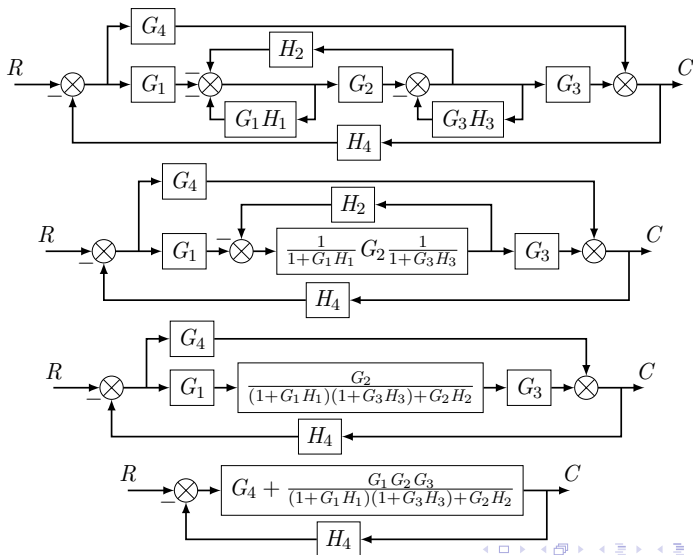


# 结构图简化例 1：电枢控制直流电动机



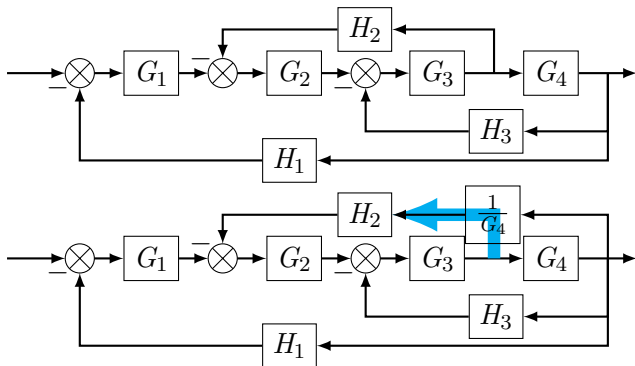


# 结构图简化例 2



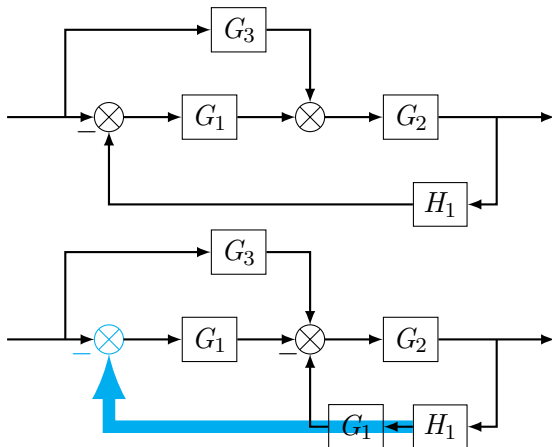


# 引出点移动



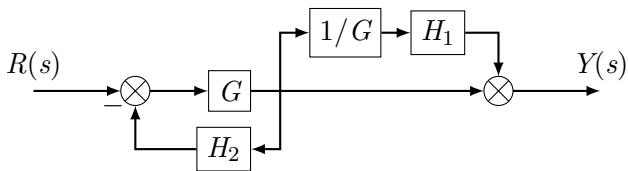
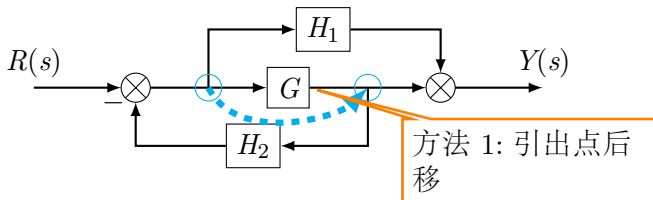


# 综合点移动





# 例 6 试简化系统结构图，并求系统传递函数

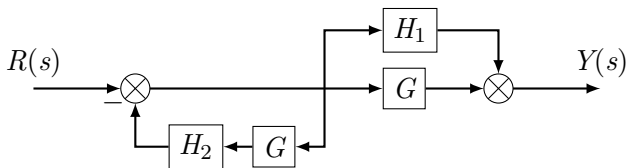
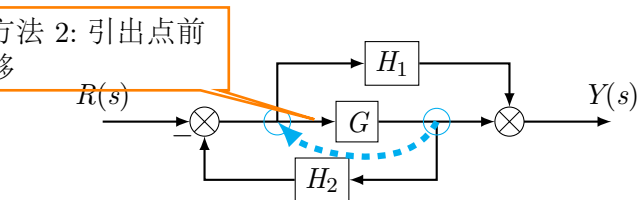


$$\frac{Y(s)}{R(s)} = \frac{G + H_1}{1 + GH_2}$$



# 例 7 试简化系统结构图，并求系统传递函数

方法 2: 引出点前移



$$\frac{Y(s)}{R(s)} = \frac{G + H_1}{1 + GH_2}$$



# 课程回顾：控制系统的结构图及其等效变换

## 一、动态结构图的组成

信号线、引出点、综合点、方框

## 二、典型连接方式及等效变换

- ① 串联等效
- ② 并联等效
- ③ 反馈等效

## 三、等效移动规则

- ① 引出点的移动
- ② 综合点的移动

## 四、结构图等效变换方法



# 接下来...

## 1 引言

## 2 控制系统的数学模型

- 控制系统的微分方程
- 非线性模型的线性化
- 控制系统的复数域数学模型

## 3 动态结构图及等效变换

- 动态结构图的组成
- 典型连接方式及等效变换
- 等效移动规则
- 结构图等效变换方法

## 4 信号流图及梅逊公式

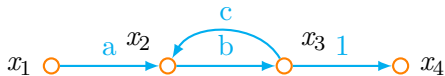
- 信号流图的基本概念
- 信号流图的绘制
- 梅逊 (Mason) 增益公式

## 5 控制系统的传递函数



# 信号流图的基本概念

信号流图是一种描述系统中各信号传递关系的数学图形。只适用于线性系统。其优点在于流图增益公式实用性。信号流图由节点和支路组成。



**节点**○：表示系统中的变量。

**支路**→：表示变量之间的传输关系。

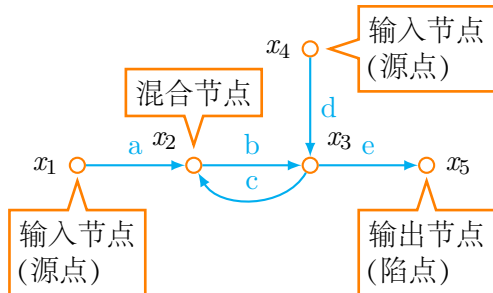


# 信号流图的基本术语

**源点：** 只有流出支路的节点。对应于系统的输入信号，或称为输入节点。

**陷点：** 只有输入支路的节点。对应于系统的输出信号，或称为输出节点。

**混合节点：** 既有输入支点也有输出支点的节点





# 信号流图的基本术语

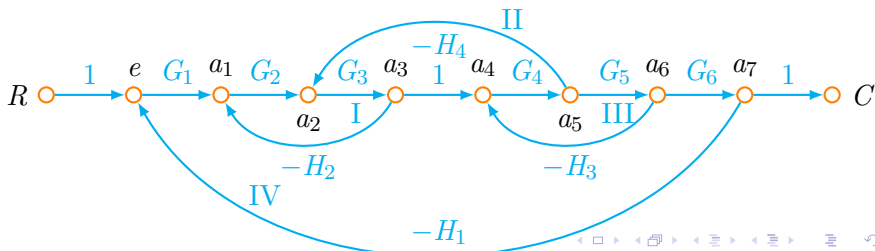
**通路：** 从某一节点开始沿支路箭头方向到另一节点（或同一节点）构成的路径。

**回路：** 如果通路的终点就是起点，并且与任何其他节点相交不多于一次。

**回环增益：** 回环中各支路增益的乘积。

**前向通路：** 从源点开始并终止于陷点，且与其他节点相交不多于一次的通道。该通路各支路增益乘积称为前向通路增益。

**不接触回路：** 各回路之间没有任何公共节点。反之称为接触回路。





# 接下来...

## 1 引言

## 2 控制系统的数学模型

- 控制系统的微分方程
- 非线性模型的线性化
- 控制系统的复数域数学模型

## 3 动态结构图及等效变换

- 动态结构图的组成
- 典型连接方式及等效变换
- 等效移动规则
- 结构图等效变换方法

## 4 信号流图及梅逊公式

- 信号流图的基本概念
- 信号流图的绘制
- 梅逊 (Mason) 增益公式

## 5 控制系统的传递函数



# 信号流图的绘制

## 由结构图绘制信流图

结构图		信号流图
输入信号	→	源节点
输出信号	→	陷节点
比较点, 引出点	→	混合节点
环节	→	支路
环节传递函数	→	支路增益



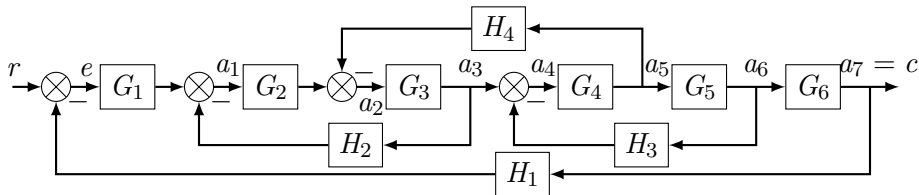
# 信号流图的绘制

## 基本步骤：

- ① 在结构图的信号线上，标出各变量对应节点名称。若比较点之后又有引出点，只需设一个节点。
- ② 所有输入为源点，输出为陷点，可以通过引入单位增益支路实现。
- ③ 将各节点按原来顺序排列；
- ④ 连接各支路，注意支路增益符号。

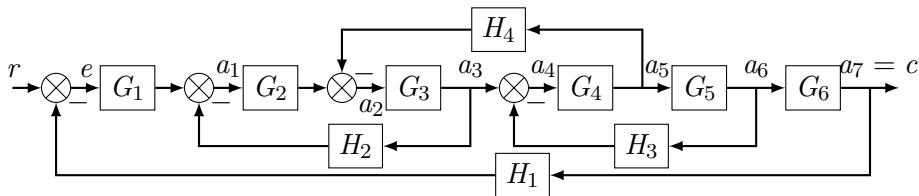


# 由结构图绘制信号流图



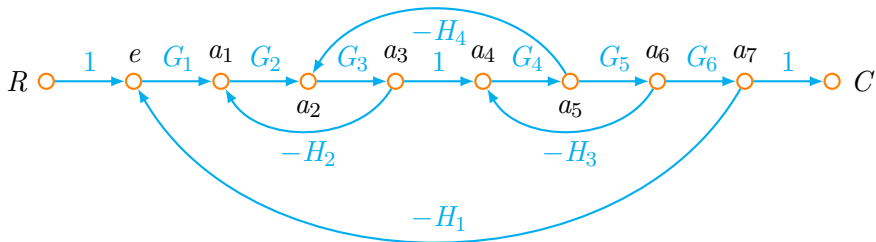
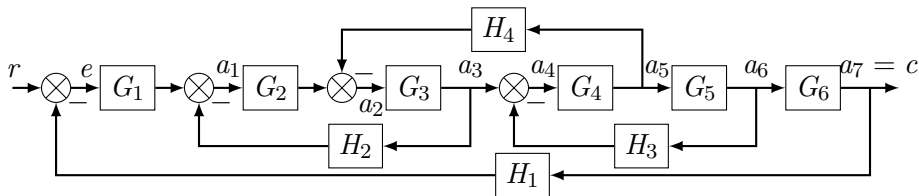


# 由结构图绘制信号流图



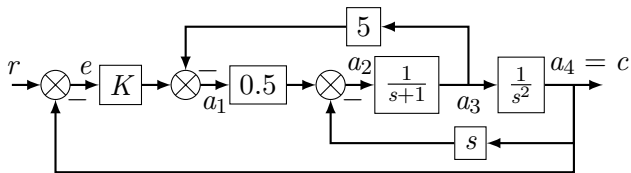


# 由结构图绘制信号流图



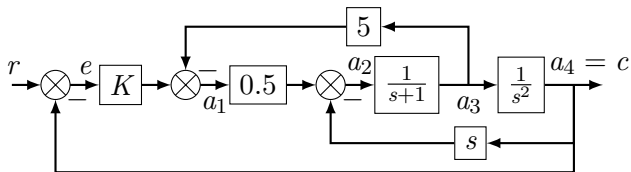


# 由结构图绘制信号流图



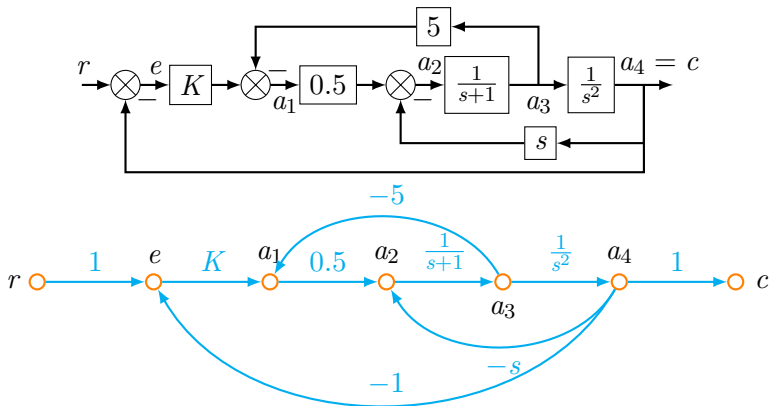


# 由结构图绘制信号流图





# 由结构图绘制信号流图





## 由方程组绘制信号流图

首先按照节点的次序绘出各节点，然后根据各方程式绘制各支路。当所有方程式的信号流图绘制完毕后，即得系统的信号流图。

$$\begin{aligned}x_1 &= x_r - gx_c & x_2 &= ax_1 - fx_4 & x_3 &= bx_2 - ex_c \\x_4 &= cx_3 & x_c &= dx_4\end{aligned}$$



## 由方程组绘制信号流图

首先按照节点的次序绘出各节点，然后根据各方程式绘制各支路。当所有方程式的信号流图绘制完毕后，即得系统的信号流图。

$$x_1 = x_r - gx_c \quad x_2 = ax_1 - fx_4 \quad x_3 = bx_2 - ex_c$$

$$x_4 = cx_3 \quad x_c = dx_4$$

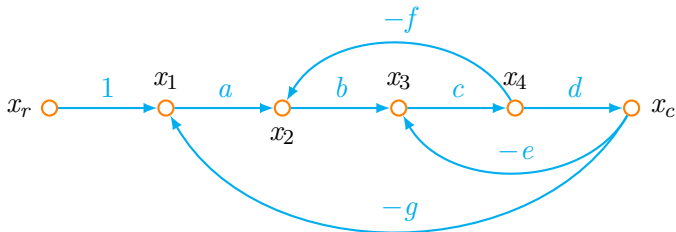




## 由方程组绘制信号流图

首先按照节点的次序绘出各节点，然后根据各方程式绘制各支路。当所有方程式的信号流图绘制完毕后，即得系统的信号流图。

$$\begin{aligned}x_1 &= x_r - gx_c & x_2 &= ax_1 - fx_4 & x_3 &= bx_2 - ex_c \\x_4 &= cx_3 & x_c &= dx_4\end{aligned}$$





# 接下来...

- 1 引言
- 2 控制系统的数学模型
  - 控制系统的微分方程
  - 非线性模型的线性化
  - 控制系统的复数域数学模型
- 3 动态结构图及等效变换
  - 动态结构图的组成
  - 典型连接方式及等效变换
  - 等效移动规则
  - 结构图等效变换方法
- 4 信号流图及梅逊公式
  - 信号流图的基本概念
  - 信号流图的绘制
  - 梅逊 (Mason) 增益公式
- 5 控制系统的传递函数



# 梅逊 (Mason) 增益公式

$$p = \frac{1}{\Delta} \sum_{k=1}^n p_k \Delta_k$$

$p$  总增益

$p_k$  第  $k$  条前向通路的通路增益

$\Delta$  信号流图的特征式, 即

$$\Delta = 1 - \sum_a L_a + \sum_{bc} L_b L_c - \sum_{def} L_d L_e L_f + \dots$$

$\sum_a L_a$  所有回路增益之和

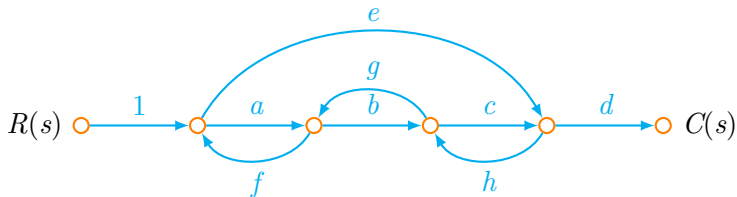
$\sum_{bc} L_b L_c$  每两互不接触回路增益乘积之和

$\sum_{def} L_d L_e L_f$  每三个互不接触回路增益乘积之和

$\Delta_k$  在  $\Delta$  中除去与第  $k$  条前向通道相接触的回路后的特征式, 称为前向通道特征式的余子式。

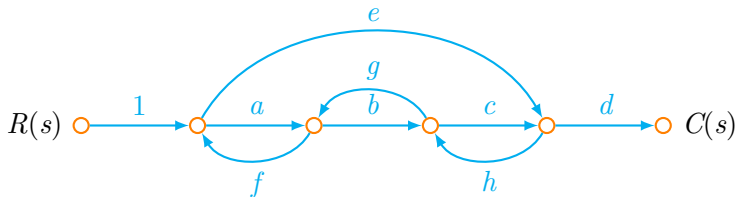


# 由信号流图计算传递函数





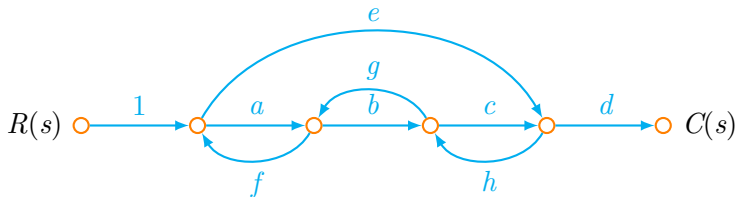
# 由信号流图计算传递函数



四个单独回路，两个回路互不接触  
前向通路两条



# 由信号流图计算传递函数

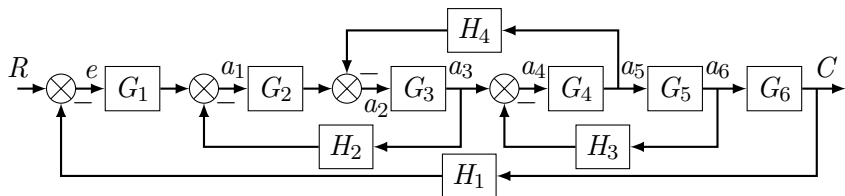


四个单独回路，两个回路互不接触  
前向通路两条

$$\frac{C(s)}{R(s)} = \frac{abcd + ed(1 - bg)}{1 - af - bg - ch - ehgf + afch}$$



# 例 8 求 $C(s)/R(s)$



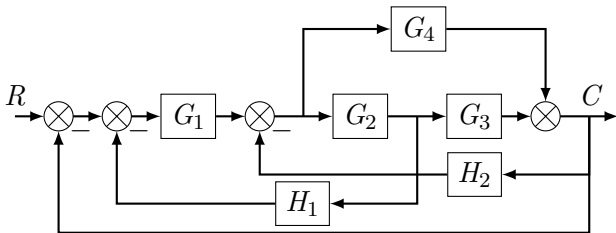
$$\begin{aligned} \Delta &= 1 - [-G_2 G_3 H_2 - G_4 G_5 H_3 - G_3 G_4 H_4 - G_1 G_2 G_3 G_4 G_5 G_6 H_1] \\ &\quad + (-G_2 G_3 H_2)(-G_4 G_5 H_3) \\ &= 1 + G_2 G_3 H_2 + G_4 G_5 H_3 + G_3 G_4 H_4 \\ &\quad + G_1 G_2 G_3 G_4 G_5 G_6 H_1 + G_2 G_3 G_4 G_5 H_2 H_3 \end{aligned}$$

$$P_1 = G_1 G_2 G_3 G_4 G_5 G_6 \quad \Delta_1 = 1$$

$$\Phi = \frac{G_1 G_2 G_3 G_4 G_5 G_6}{1 + G_2 G_3 H_2 + G_4 G_5 H_3 + G_3 G_4 H_4 + G_{1-6} H_1 + G_{2-5} H_2 H_3}$$

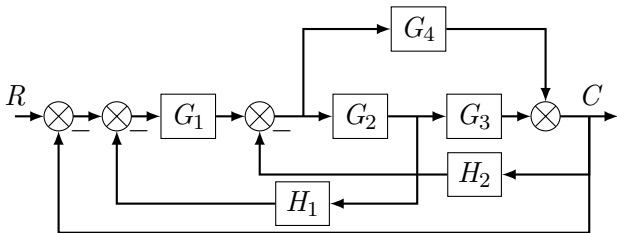


# 例 9 求 $C(s)/R(s)$





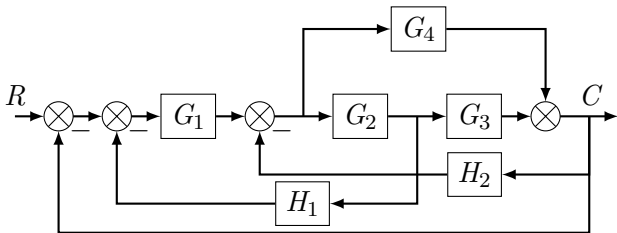
# 例 9 求 $C(s)/R(s)$



$$\Delta = 1 - [-G_1 G_2 H_1 - G_2 G_3 H_2 - G_1 G_2 G_3 - G_4 H_2 - G_1 G_4]$$



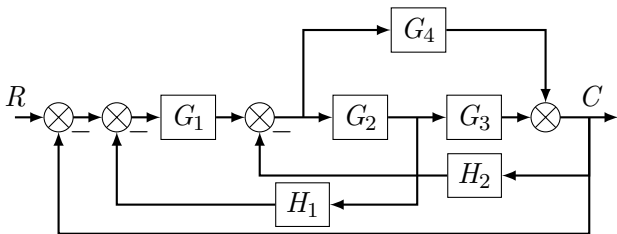
# 例 9 求 $C(s)/R(s)$



$$\begin{aligned}\Delta &= 1 - [-G_1 G_2 H_1 - G_2 G_3 H_2 - G_1 G_2 G_3 - G_4 H_2 - G_1 G_4] \\ &= 1 + G_1 G_2 H_1 + G_2 G_3 H_2 + G_1 G_2 G_3 + G_4 H_2 + G_1 G_4\end{aligned}$$



# 例 9 求 $C(s)/R(s)$



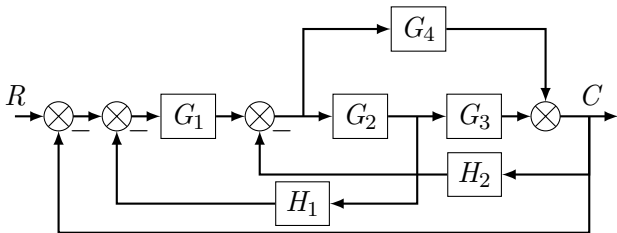
$$\begin{aligned}\Delta &= 1 - [-G_1 G_2 H_1 - G_2 G_3 H_2 - G_1 G_2 G_3 - G_4 H_2 - G_1 G_4] \\ &= 1 + G_1 G_2 H_1 + G_2 G_3 H_2 + G_1 G_2 G_3 + G_4 H_2 + G_1 G_4\end{aligned}$$

$$P_1 = G_1 G_2 G_3 \quad \Delta_1 = 1$$

$$P_2 = G_1 G_4 \quad \Delta_2 = 1$$



# 例 9 求 $C(s)/R(s)$



$$\begin{aligned}\Delta &= 1 - [-G_1 G_2 H_1 - G_2 G_3 H_2 - G_1 G_2 G_3 - G_4 H_2 - G_1 G_4] \\ &= 1 + G_1 G_2 H_1 + G_2 G_3 H_2 + G_1 G_2 G_3 + G_4 H_2 + G_1 G_4\end{aligned}$$

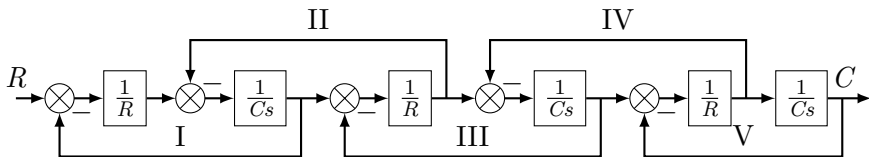
$$P_1 = G_1 G_2 G_3 \quad \Delta_1 = 1$$

$$P_2 = G_1 G_4 \quad \Delta_2 = 1$$

$$\Phi = \frac{G_1 G_2 G_3 + G_1 G_4}{1 + G_1 G_2 H_1 + G_2 G_3 H_2 + G_1 G_2 G_3 + G_4 H_2 + G_1 G_4}$$

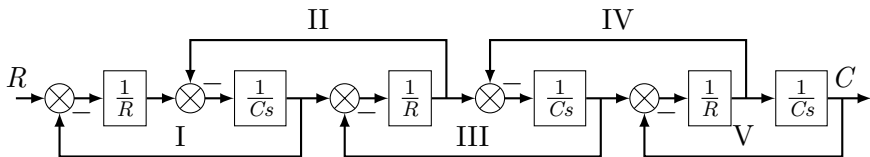


# 例 10 求 $C(s)/R(s)$





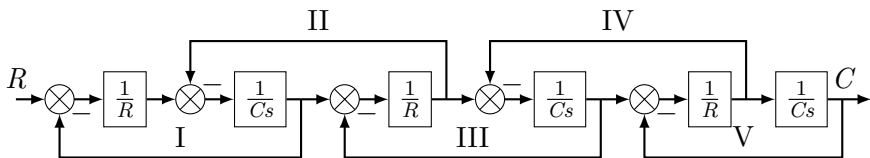
# 例 10 求 $C(s)/R(s)$



互不接触回路: I-III, I-V, III-V, I-IV, II-V, II-IV



# 例 10 求 $C(s)/R(s)$

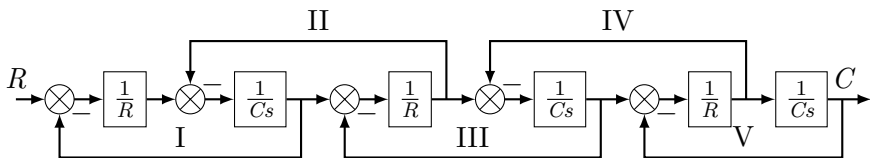


互不接触回路: I-III, I-V, III-V, I-IV, II-V, II-IV

$$\Delta = 1 - 5 \cdot \frac{-1}{RCs} + 6 \cdot \frac{1}{(RCs)^2} - \frac{-1}{(RCs)^3}$$



# 例 10 求 $C(s)/R(s)$



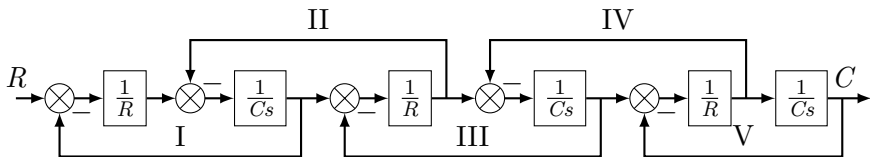
互不接触回路: I-III, I-V, III-V, I-IV, II-V, II-IV

$$\Delta = 1 - 5 \cdot \frac{-1}{RCs} + 6 \cdot \frac{1}{(RCs)^2} - \frac{-1}{(RCs)^3}$$

$$P_1 = \frac{1}{(RCs)^3} \quad \Delta_1 = 1$$



# 例 10 求 $C(s)/R(s)$



互不接触回路: I-III, I-V, III-V, I-IV, II-V, II-IV

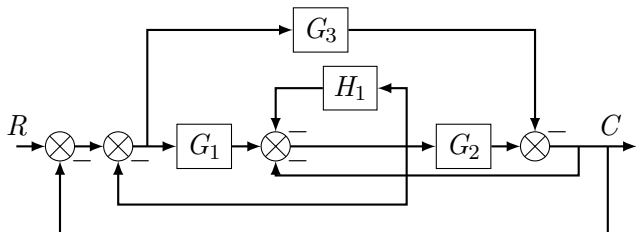
$$\Delta = 1 - 5 \cdot \frac{-1}{RCs} + 6 \cdot \frac{1}{(RCs)^2} - \frac{-1}{(RCs)^3}$$

$$P_1 = \frac{1}{(RCs)^3} \quad \Delta_1 = 1$$

$$\Phi = \frac{1}{1 + (RCs)^3 + 5(RCs)^2 + 6(RCs)}$$

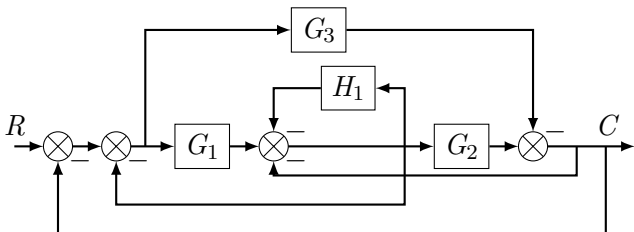


# 例 11 求 $C(s)/R(s)$





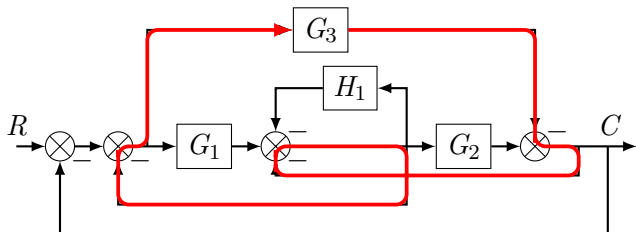
# 例 11 求 $C(s)/R(s)$



$$\begin{aligned}\Delta &= 1 - [-H_1 - G_1 - G_2 - G_1 G_2 + G_3 - G_3] - G_3 H_1 \\ &= 1 + H_1 + G_1 + G_2 + G_1 G_2 - G_3 H_1\end{aligned}$$



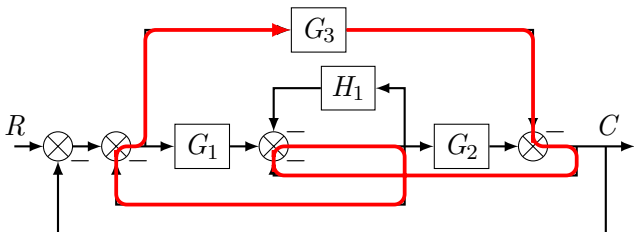
# 例 11 求 $C(s)/R(s)$



$$\begin{aligned}\Delta &= 1 - [-H_1 - G_1 - G_2 - G_1 G_2 + G_3 - G_3] - G_3 H_1 \\ &= 1 + H_1 + G_1 + G_2 + G_1 G_2 - G_3 H_1\end{aligned}$$



# 例 11 求 $C(s)/R(s)$



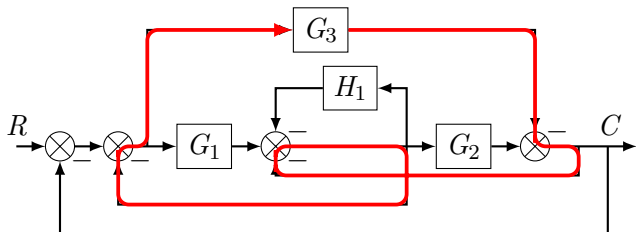
$$\begin{aligned}\Delta &= 1 - [-H_1 - G_1 - G_2 - G_1 G_2 + G_3 - G_3] - G_3 H_1 \\ &= 1 + H_1 + G_1 + G_2 + G_1 G_2 - G_3 H_1\end{aligned}$$

$$P_1 = G_1 G_2 \quad \Delta_1 = 1$$

$$P_2 = -G_3 \quad \Delta_2 = 1 + H_1$$



# 例 11 求 $C(s)/R(s)$



$$\begin{aligned}\Delta &= 1 - [-H_1 - G_1 - G_2 - G_1 G_2 + G_3 - G_3] - G_3 H_1 \\ &= 1 + H_1 + G_1 + G_2 + G_1 G_2 - G_3 H_1\end{aligned}$$

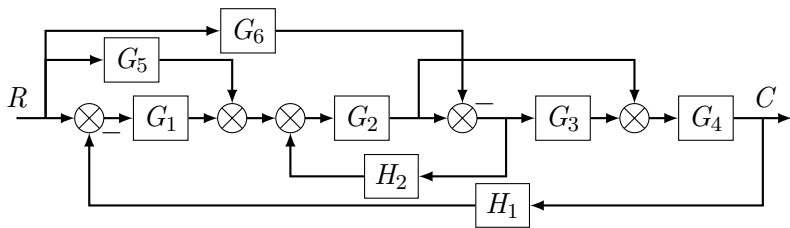
$$P_1 = G_1 G_2 \quad \Delta_1 = 1$$

$$P_2 = -G_3 \quad \Delta_2 = 1 + H_1$$

$$\Phi = \frac{G_1 G_2 - G_3(1 + H_1)}{1 + H_1 + G_1 + G_2 + G_1 G_2 - G_3 H_1}$$

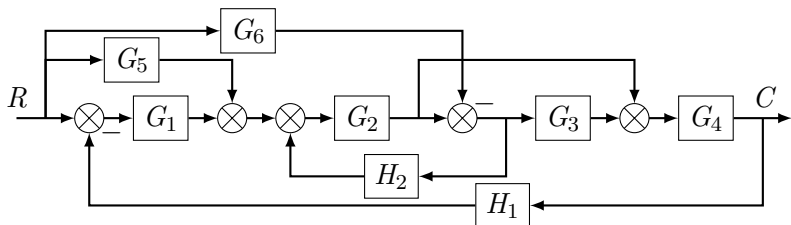


# 例 12 求 $C(s)/R(s)$





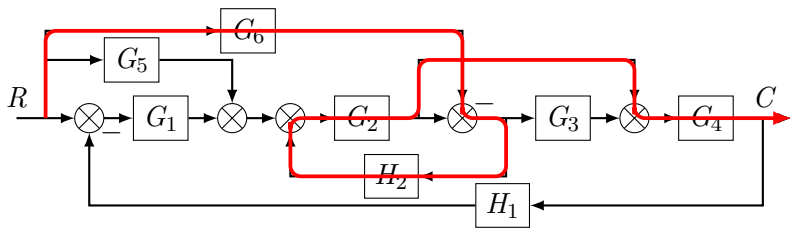
# 例 12 求 $C(s)/R(s)$



$$\begin{aligned}\Delta &= 1 - [G_2 H_2 - G_1 G_2 G_3 G_4 H_1 - G_1 G_2 G_4 H_1] \\ &= 1 - G_2 H_2 + G_1 G_2 G_3 G_4 H_1 + G_1 G_2 G_4 H_1\end{aligned}$$



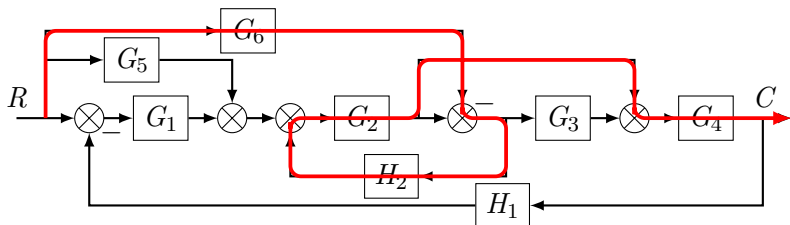
# 例 12 求 $C(s)/R(s)$



$$\begin{aligned}\Delta &= 1 - [G_2 H_2 - G_1 G_2 G_3 G_4 H_1 - G_1 G_2 G_4 H_1] \\ &= 1 - G_2 H_2 + G_1 G_2 G_3 G_4 H_1 + G_1 G_2 G_4 H_1\end{aligned}$$



# 例 12 求 $C(s)/R(s)$

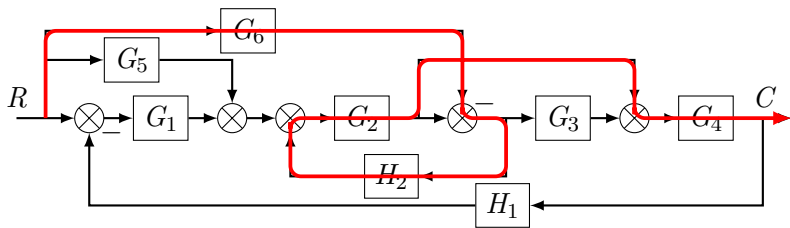


$$\begin{aligned}\Delta &= 1 - [G_2 H_2 - G_1 G_2 G_3 G_4 H_1 - G_1 G_2 G_4 H_1] \\ &= 1 - G_2 H_2 + G_1 G_2 G_3 G_4 H_1 + G_1 G_2 G_4 H_1\end{aligned}$$

$$\begin{array}{llll} P_1 = G_1 G_2 G_3 G_4 & \Delta_1 = 1 & P_2 = G_1 G_2 G_4 & \Delta_2 = 1 \\ P_3 = G_2 G_3 G_4 G_5 & \Delta_3 = 1 & P_4 = G_2 G_4 G_5 & \Delta_4 = 1 \\ P_5 = -G_3 G_4 G_6 & \Delta_5 = 1 & P_6 = -G_6 H_2 G_2 G_4 & \Delta_6 = 1 \end{array}$$



# 例 12 求 $C(s)/R(s)$



$$\begin{aligned}\Delta &= 1 - [G_2 H_2 - G_1 G_2 G_3 G_4 H_1 - G_1 G_2 G_4 H_1] \\ &= 1 - G_2 H_2 + G_1 G_2 G_3 G_4 H_1 + G_1 G_2 G_4 H_1\end{aligned}$$

$$\begin{aligned}P_1 &= G_1 G_2 G_3 G_4 & \Delta_1 &= 1 & P_2 &= G_1 G_2 G_4 & \Delta_2 &= 1 \\ P_3 &= G_2 G_3 G_4 G_5 & \Delta_3 &= 1 & P_4 &= G_2 G_4 G_5 & \Delta_4 &= 1 \\ P_5 &= -G_3 G_4 G_6 & \Delta_5 &= 1 & P_6 &= -G_6 H_2 G_2 G_4 & \Delta_6 &= 1\end{aligned}$$

$$\Phi = \frac{G_{1-4} + G_{1,2,4} + G_{2-5} + G_{2,4,5} - G_{3,4,6} - G_6 H_2 G_2 G_4}{1 - G_2 H_2 + G_1 G_2 G_3 G_4 H_1 + G_1 G_2 G_4 H_1}$$

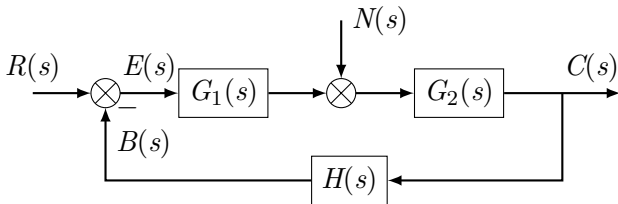


# 小结

- 1 信号流图的组成
- 2 信号流图与结构图的关系
- 3 结构图  $\Rightarrow$  信号流图



# 控制系统的传递函数



## 一、系统的开环传递函数

定义为把主反馈通道断开，得到的传递函数

$$G_k(s) = \frac{B(s)}{E(s)} = G_1(s) G_2(s) H(s)$$



# 控制系统的传递函数

## 二、输入作用下系统的闭环传递函数

$$\Phi(s) = \frac{Y(s)}{R(s)} = \frac{G_1(s)G_2(s)}{1 + G_1(s)G_2(s)H(s)}$$

## 三、扰动作用下系统的闭环传递函数

$$\Phi_N(s) = \frac{Y_N(s)}{N(s)} = \frac{G_2(s)}{1 + G_1(s)G_2(s)H(s)}$$

## 四、系统的总输出

$$Y(s) = \frac{G_1(s)G_2(s)}{1 + G_1(s)G_2(s)H(s)} \cdot R(s) + \frac{G_2(s)}{1 + G_1(s)G_2(s)H(s)} \cdot N(s)$$



# 控制系统的传递函数

## 五、误差传递函数

误差信号  $E(s) = R(s) - B(s)$

输入作用下的误差传递函数  $\Phi_e(s) = \frac{E(s)}{R(s)} = \frac{1}{1 + G_1(s)G_2(s)H(s)}$

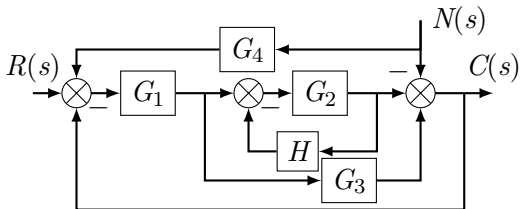
扰动作用下的误差传递函数  $\Phi_{eN}(s) = \frac{E(s)}{N(s)} = \frac{-G_2(s)H(s)}{1 + G_1(s)G_2(s)H(s)}$

## 六、系统的总误差

$$E(s) = \frac{R(s) - G_2(s)H(s)N(s)}{1 + G_1(s)G_2(s)H(s)}$$



# 例 13 求 $C(s)/R(s)$ , $C(s)/N(s)$



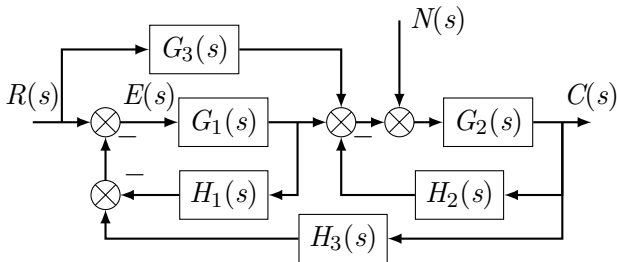
$$\begin{aligned}\Delta &= 1 - [-G_2H - G_1G_2 - G_1G_3] + G_1G_2G_3H \\ &= 1 + G_2H + G_1G_2 + G_1G_3 + G_1G_2G_3H\end{aligned}$$

$$\left. \begin{array}{l} P_1 = G_1G_2 \quad \Delta_1 = 1 \\ P_2 = G_1G_3 \quad \Delta_2 = 1 + G_2H \end{array} \right\} \Phi = \frac{G_1G_2 + G_1G_3(1 + G_2H)}{1 + G_2H + G_1G_2 + G_1G_3 + G_1G_2G_3H}$$

$$\left. \begin{array}{l} P_{N1} = -1 \quad \Delta_{N1} = 1 + G_2H \\ P_{N2} = G_4 \quad \Delta_{N2} = 1 \\ P_{N3} = G_4 \quad \Delta_{N3} = 1 + G_2H \end{array} \right\} \Phi_N = \frac{(-1 + G_1G_3)(1 + G_2H) + G_1G_2G_4}{1 + G_2H + G_1G_2 + G_1G_3 + G_1G_2G_3H}$$



# 例 14 梅逊公式求 $C(s)$



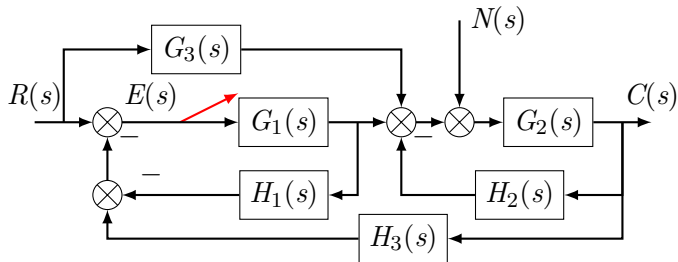
$$L_1 = G_1 H_1 \qquad L_2 = -G_2 H_2$$

$$L_3 = -G_1 G_2 H_3 \quad L_1 L_2 = (G_1 H_1)(-G_2 H_2)$$

$$C(s) = \frac{R(s)[G_3 G_2(1 - G_1 H_1) + G_1 G_2] + G_2(1 - G_1 H_1)N(s)}{1 - G_1 H_1 + G_2 H_2 + G_1 G_2 H_3 - G_1 H_1 G_2 H_2}$$



# 例 15 梅逊公式求 $E(s)$



$$\begin{aligned}
 P_1 &= 1 & \Delta_1 &= 1 + G_2 H_2 \\
 P_2 &= -G_3 G_2 H_3 & \Delta_2 &= 1 \\
 P_3 &= -G_2 H_3 & \Delta_3 &= 1
 \end{aligned}$$

$$E(s) = \frac{R(s)[(1 + G_2 H_2) + (-G_3 G_2 H_3)] + (-G_2 H_3)N(s)}{1 - G_1 H_1 + G_2 H_2 + G_1 G_2 H_3 - G_1 H_1 G_2 H_2}$$



## 本章小结

- 掌握建立微分方程的方法
- 掌握拉氏变换求解微分方程的方法
- 牢固掌握系统传递函数的定义
- 能熟练地进行动态结构图等效变换
- 能熟练运用梅逊公式求取系统传递函数
- 了解控制系统中各种传递函数的定义